

النظير العددي والاتجاهي للجسيم الواحد للانتقالات

المغناطيسية ثنائية القطب لنظائر Ba(A=130-136)

باستخدام IBM-1

ايمان طارق العنوي ، خالد سلمان ابراهيم

قسم الفيزياء، كلية العلوم، الجامعة المستنصرية

الخلاصة

حسب كل من النظير العددي والنظير الاتجاهي لحدود الجسم الواحد وذلك لاجاد الانتقالات المغناطيسية ثنائية القطب في نظائر الباريوم Ba(A=130-136) الزوجية-زوجية باستخدام نموذج البوزونات المتفاعلة الاول. بينت حساباتنا ان اعلى قيمة لعناصر المصفوفة المختزلة لمؤثر الانتقال المغناطيسي $\langle I_f || \hat{T}^{(M1)} || I_f \rangle$ كانت للنظيرين Ba-130 و Ba-134 للانتقالين $3_1^+ \rightarrow 3_2^+$ و $4_1^+ \rightarrow 4_2^+$ ، واقل قيمة لهما كانت عند الانتقالين $2_2^- \rightarrow 2_3^-$ و $4_2^+ \rightarrow 4_3^+$ للنظير Ba-130 وللنظيرين Ba=132,134 كانت عند الانتقال $2_1^+ \rightarrow 2_2^+$. اما بالنسبة إلى النظير Ba-136 فقد ظهرت عند المستويات 2_1^+ و 3_1^+ و 4_1^+ و 5_1^+ وذلك بعد فصل عدد بوزونات البروتونات عن عدد بوزونات النيوترونات، وقد تراوحت قيمة عناصر المصفوفة المختزلة (2.293→6.607) لمؤثر النظير العددي و (-4.498→-1.356) μ n لمؤثر النظير الاتجاهي ولم تظهر قيم B(M1) وذلك لعدم وجود أي انتقال بين هذه المستويات والمستويات الاخرى.

المقدمة

ان العزم المغناطيسي ثنائي القطب (Magnetic Dipole Moment) هو أحد خواص معظم النوى وهو ناتج عن حركة البروتونات (ذات الشحنة الموجبة) في مدارات مغلقة داخل النواة، كما تسهم النيوترونات (متعادلة الشحنة) بالعزم المغناطيسية نتيجة لامتلاكها زخما زاويا ذاتيا (1،2،3) .

ينتج العزم المغناطيسي من جراء توزيع الشحنات والتيارات الكهربائية ويحدد بواسطة العدد الكمي المداري (L)، فعندما يكون (L=0, Monopole) أي أن الحركة المدارية تساوي صفراً فهذا يعني وجود مجال كهربائي أحادي القطبية. وعندما يكون (L=1, Dipole) فإن هناك حركة مدارية للشحنات الكهربائية في مدارات مغلقة مما ينتج عنها مجالاً مغناطيسياً ثنائي القطبية (1). أما بالنسبة إلى العامل (g_L) المرتبطة بالحركة المدارية فإنها تساوي (1) للبروتونات (4,3) بسبب تطابق الشحنة والكتلة، في حين للنيوترونات فهي تساوي (0) وذلك لأن النيوترونات عديمة الشحنة. أما للحركة البرمبية الذاتية (g_S) فإنها تساوي (5.586) للبروتونات وتساوي (-3.826) للنيوترونات وهذه القيم تدل على أن النيوكليونات ذو تراكيب معقدة تتضمن توزيعاً ليس بالقليل للشحنات الكهربائية (3). وقد جرت بعض الدراسات حول موضوع العزم المغناطيسي على نظائر مختلفة (5-14).

إن الهدف من هذا البحث هو دراسة تأثير العزم المغناطيسي ثنائي القطب في التركيب النووي لنظائر الباريوم الزوجية-زوجية بدلالة مركبة النظير العددي (Isoscalar Component)، ومركبة النظير الاتجاهي (Isovector Component) للجسيم الواحد. ونظراً لعدم وجود نتائج سابقة في هذا الموضوع فقد استعملنا طريقة فصل البوزونات (بوزونات البروتونات وبوزونات النيوترونات كل على حدة) بوصفها طريقة ثانية لاثبات صحة النتائج التي تم الحصول عليها. من خلال حساب تأثير عزوم ثنائية القطب المغناطيسي في نظائر الباريوم (Ba, A=130-136) وإيجاد التناظرات الديناميكية لكل نظير منها وحساب قيم مؤثر ثنائي القطب المغناطيسي $\hat{T}^{(M1)}$ ، واحتمالية الانتقالات المغناطيسية B(M1) لحدود الجسيم الواحد.

الجزء النظري

يعطى مؤثر ثنائي القطب المغناطيسي حسب المعادلة الآتية (13، 17):

$$\hat{T}^{(M1)} = g_{\pi,L} (d_{\pi}^{+} \tilde{d}_{\pi})^{(L)} + g_{\nu,L} (d_{\nu}^{+} \tilde{d}_{\nu})^{(L)} \dots [1]$$

اذ g_π تعني العامل g لبوزون البروتون و g_v تعني العامل g لبوزون النيوترون.

وأن d_π و d_v تعني بوزونات البروتونات والنيوترونات من نوع d بحيث ان

$$\hat{d}_\mu = (-1)^\mu \hat{d}_\mu \quad (11)$$

يمكن فصل المعادلة [1] إلى جزئين ، يمثل الجزء الأول مؤثر ثنائي القطب المغناطيسي بدلالة مركبة النظير العددي [7].

$$\hat{T}_I^{(M1)} = g_s \left[(d_\pi^+ \tilde{d}_\pi)^{(L)} + (d_v^+ \tilde{d}_v)^{(L)} \right] \quad \dots(2)$$

إذ أن

$$g_s = \frac{1}{N} (N_\pi g_{\pi,L} + N_v g_{v,L}) \quad \dots(3)$$

اذ يمثل N_π عدد بوزونات البروتونات و N_v عدد بوزونات النيوترونات. نلاحظ من المعادلة أعلاه (2) أن مؤثر عزم ثنائي القطب يتناسب مع الزخم الزاوي الكلي L .

أما الجزء الثاني فهو مؤثر ثنائي القطب بدلالة مركبة النظير الاتجاهي فيعطى بالصيغة الآتية [7]:

$$\hat{T}_{II}^{(M1)} = g_A \frac{1}{N} \left[N_v (d_\pi^+ \tilde{d}_\pi)^{(L)} - N_\pi (d_v^+ \tilde{d}_v)^{(L)} \right] \quad \dots(4)$$

ويعرف g_A بالصيغة الآتية:

$$g_A = g_{\pi,L} - g_{v,L} \quad \dots(5)$$

لا توجد انتقالات نقية من نوع Isovector أو Isoscalar لكونها تتشكل من مجموع المؤثرين الا انه يمكن حساب g_v و g_π وذلك باتباع شكل التصرف لبوزون - فيرميون (Boson- Fermion Mapping). ويمكن تحويل حالة البوزون (Ψ_B) إلى حالة الفيرميون وذلك باستبدال المؤثرين s^+ و d^- مع العلاقة المتبادلة لازواج الفيرميونات [10,11].

$$\begin{aligned} [\hat{s}, \hat{s}^+] &= 1; [\hat{s}, \hat{s}] = [\hat{s}^+, \hat{s}^+] = 0 \\ [\hat{d}_\mu^-, \hat{d}_\mu^-] &= \delta_{\mu\mu} ; [\hat{d}_\mu^-, \hat{d}_\mu^+] = [\hat{d}_\mu^+, \hat{d}_\mu^+] = 0 \\ [\hat{s}, \hat{d}_\mu^+] &= [\hat{s}, \hat{d}_\mu^-] ; [\hat{s}^+, \hat{d}_\mu^+] = [\hat{s}^+, \hat{d}_\mu^-] = 0 \quad \dots(6) \end{aligned}$$

تكتب مؤثرات العزم المغناطيسي عادة بدلالة مركبة النظير العددي، ومركبة النظير الاتجاهي كماياتي [15]:

$$\mu = \mu_0 - \tau \mu_1 \dots(7)$$

إذ τ عدد كمي يمثل البرم النظيري (Isospin) [16] ، كما تمثل معادلة العزم المغناطيسية بدلالة النظير العددي بالصيغة الاتية [15,17]:

$$\mu_0 = \frac{1}{2}(\mu_\pi + \mu_\nu) = 0.4398 \mu_n \dots(8)$$

أما معادلة العزم المغناطيسية بدلالة النظير الاتجاهي فتتمثل بالصيغة الاتية [15,17]:

$$\mu_1 = \frac{1}{2}(\mu_\pi - \mu_\nu) = 2.3529 \mu_n \dots(9)$$

إذ μ_n تعني وحدة النيوترون ماكنيتون لحساب العزم المغناطيسية.

وتتحدد الانتقالات المغناطيسية ثنائية القطب M1 بقواعد الانتقاء الاتية [18].

$$\begin{aligned} \Delta J &= \pm 1, 0 & 0 \rightarrow 0 \text{ forbidden no change in party.} \\ \Delta T &= \pm 1, 0 & 0 \rightarrow 0 \text{ forbidden.} \end{aligned}$$

النتائج والمناقشة

لغرض دراسة العزم المغناطيسي ثنائي القطب ومعرفة الخصائص التي تتميز بها النظائر الزوجية-زوجية لنواة الباريوم ($Ba, A=130-136, Z=56$) حسب احتمالية الانتقالات المغناطيسية ثنائية القطب بدلالة النظير العددي (Isoscalar)، و النظير الاتجاهي (Isovector).

بين الجدول (1) المعلومات التي حصلنا عليها للجسيم الواحد لبوزونات البروتونات وبوزونات النيوترونات للحصول على قيم $\langle I_f \| \hat{T}^{(MI)} \| I_i \rangle$ المختزلة وقيم $B(M1)$.

إذ تمثل المعلومات الخاصة بالمؤثر $(\hat{L}_\pi = \hat{d}_\pi^+ \hat{d}_\pi)$ و β'_π المعلومات الخاصة بالمؤثر $(\hat{L}_v = \hat{d}_v^+ \hat{d}_v)$ لحدود الجسيم الواحد لمؤثر النظير العددي والاتجاهي. يمثل الشكل (1) معلومات مؤثر الانتقالات المغناطيسية ثنائية القطب للجسيم الواحد دالة للأعداد الكتلية. نلاحظ أن قيم β'_π تبدأ بالنقصان بزيادة الأعداد الكتلية لنظائر الباريوم التي تمتلك ستة جسيمات (six particle) والمتمثلة بعدد بوزونات البروتونات $N_\pi = 3$ بعد القشرة المغلقة 50 وتعود لتزداد قليلاً عند نظير الباريوم (Ba-136)، أما قيم β'_v فتبدأ بالنقصان من النظير (Ba-130) إلى النظير (Ba-132) وبعدها تزداد قيمها لكل من نظيري الباريوم (Ba-134, 136) وذلك بزيادة الأعداد الكتلية لهذه النظائر التي تمتلك عدداً من الفجوات (Holes=8,6,4,2) والمتمثلة بعدد بوزونات النيوترونات $(N_v = 4,3,2,1)$ قبل القشرة المغلقة 82. كما نلاحظ من الشكل (1) أيضاً تقاطع كل من منحنى β'_π و β'_v عند نظير الباريوم (Ba-132) وتساوي قيمها وذلك بسبب تساوي عدد بوزونات البروتونات مع عدد بوزونات النيوترونات لهذا النظير $(N_\pi = N_v = 3)$ أي أنه يمتلك عدداً متساوياً لكل من الجسيمات والفجوات.

وبين الجدول (2) القيم الحالية لعناصر المصفوفة المختزلة $\langle L_f \| \hat{T}^{(MI)} \| L_i \rangle$

واحتمالية الانتقالات المغناطيسية ثنائية القطب $B(M1)$ للجسيم الواحد بدلالة مؤثر النظير العددي (Isoscalar) والنظير الاتجاهي (Isovector).

نلاحظ من الجدول (2) أيضاً أن أعلى قيم لعناصر المصفوفة المختزلة لمؤثر الانتقال

المغناطيسي ثنائي القطب و $B(M1)$ كانت للنظائر $Ba(A=130-134)$

لانتقالين $3_2^+ \rightarrow 3_1^+$ و $4_2^+ \rightarrow 4_1^+$ ، أما أقل قيم لها فكانت عند الانتقالين $2_2^+ \rightarrow 2_1^+$ و $3_3^+ \rightarrow 2_2^+$ للنظير Ba-130 وعند الانتقال $2_2^+ \rightarrow 2_1^+$ للنظير (Ba=132,134). أما بالنسبة للنظير Ba-136 فإن قيم $\langle L_f \parallel \hat{T}^{(M1)} \parallel L_i \rangle$ بعد فصل عدد بوزونات البروتونات وبوزونات النيوترونات ظهرت للمستويات 2_1^+ و 3_1^+ و 4_1^+ و 5_1^+ فقط، وقد تراوحت قيمها ($2.293-7.607 \square n$) لمؤثر النظير العددي و($-1.356 - -4.498 \square n$) لمؤثر النظير الاتجاهي ولم تظهر قيم B(M1) لعدم وجود أي انتقال من هذه المستويات لمستويات أخرى وبالعكس .

يوضح الشكل (2) قيم عناصر المصفوفة المختزلة للجسيم الواحد لمؤثر الانتقالات المغناطيسية ثنائية القطب لأقوى الانتقالات $4_2^+ \rightarrow 4_1^+$ و $3_2^+ \rightarrow 3_1^+$ بعد فصل بوزونات النيوترونات عن بوزونات البروتونات ومقارنتها مع ما يقابلها من قيم هذا المؤثر للانتقالات نفسها قبل عملية فصل البوزونات.

نلاحظ من الشكل (2) أيضاً تناقص قيم مؤثر الانتقالات المغناطيسية ثنائية القطب بزيادة العدد الكتلي نتيجة تأثير زيادة مؤثر النظير العددي المعادلة (2) فضلاً عن النقصان الملحوظ لمؤثر النظير الاتجاهي الناتج من المعادلة (4) إذ بينت النتائج الحالية نقصان قيم $\langle L_f \parallel \hat{T}^{(M1)} \parallel L_i \rangle$ الناتج من مجموع مؤثري النظير العددي والاتجاهي. بينما لم ينتج إلا تغير قليل جداً لهذا المؤثر، أما الشكل (3) فيوضح علاقة عناصر المصفوفة المختزلة لمؤثر الانتقالات المغناطيسية للجسيم الواحد قبل عملية الفصل دالة للاعداد الكتلية بدلالة العدد الكلي للبوزونات. مما يبين أهمية مؤثري النظير العددي والاتجاهي على مؤثر عزم ثنائي القطب المغناطيسي وتأثيره في ارتفاع قيمها لعدم فصل بوزونات البروتونات عن بوزونات النيوترونات.

المصادر

1. Krane, K.S. (1987), "Introduction Nuclear Physics", Ed. Hall day, Pub. John Wiley and Sons.
2. Seimant, H. and Al-Bright, J. (1970), "Introduction to Atomic and Nuclear Physics" Holt Rinttert and Winston, Inc.
3. د. عادل منيب (1996)، "الفيزياء النووية" كلية العلوم، جامعة الموصل.

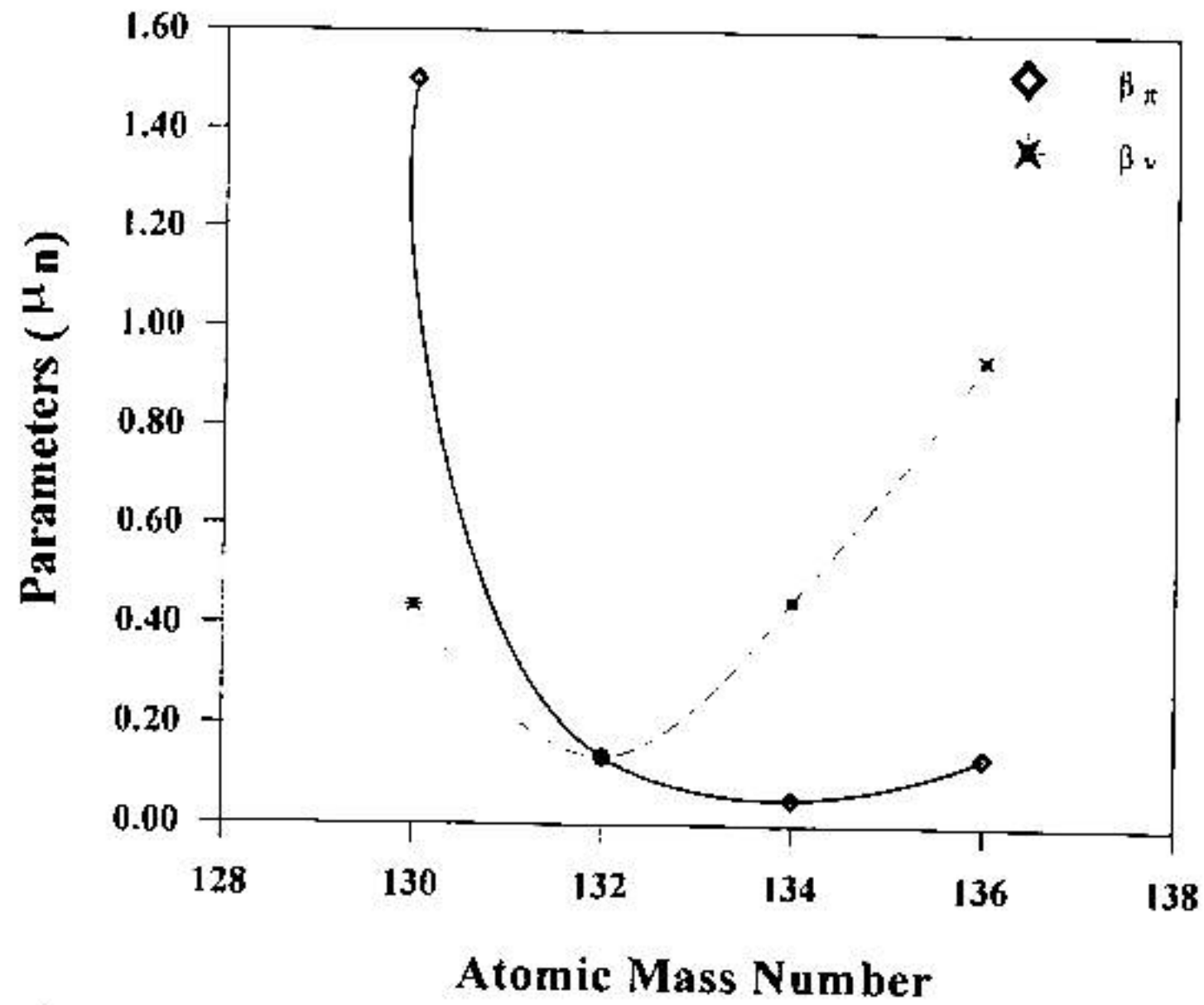
4. Deshalit, A. and Feshback, H. (1974), "Theoretical Nuclear Physics", Ed. Fesh back, Hemran Joint Author, Pub. John Wiley and Sons.
5. Sambatro, M. (1984), Nucl. Phys. A, 423: 333-349.
6. Dieperink ,A.E.L. (1984), Nucl. Phys. A,421:189C-204C.
7. Scholten, O. (1987), Nucl. Phys. A,438: 41-77.
8. Zamik, L. and Liu, H. (1987), Phys. Rev. C,36:2064-2068.
9. Zamik, L. and Liu, H. (1987), Phys. Rev. C, 36: 2057-2063.
10. Loiudice, N. (1988), Phys. Rev. C, 38:2895-2901.
11. Casten, R.F. and Warner, D.D. (1988), Rev. Mod. Phys. C., 66: 389-469.
12. Zilges ,A.;Von Brentano, P. and Hrezberg, R.D. (1996), Nucl. Phys. A,599: 147C-152C.
13. Loiudice N. (1997), Phys. Rev. C, 28:1390-1454.
14. Ibraheim, K.S., Al-Always, I.T.and Khwdiaer, A.Z. (2001),Al-Mustansiriyah University, J.Sci, 12:42-57.
15. Zamick, L. (1977), Phys. Rev. C, 15:824-826.
16. Bohr, A. and Mottelson, B. (1975), "Nuclear Structure" Ed. Benjamin with Pub. Inc. New York, Vol.II, Nuclear Deformations.
17. Pakou, A.; Tanzn, R. and Turened, D. (1987), Phys. Rev. C, 36: 2088-2108.
18. Bohr, A. and Mottelson, B. (1969), "Nuclear Structure" Ed. Benjamin with, Pub. Inc. New York, Vol.II, Single-particle motion.

جدول (1) المعلومات الخاصة بمعادلة مؤثر الانتقالات المغناطيسية لحدود الجسم الواحد والجسيمين لعدد بوزونات البروتونات وعدد بوزونات النيوترونات

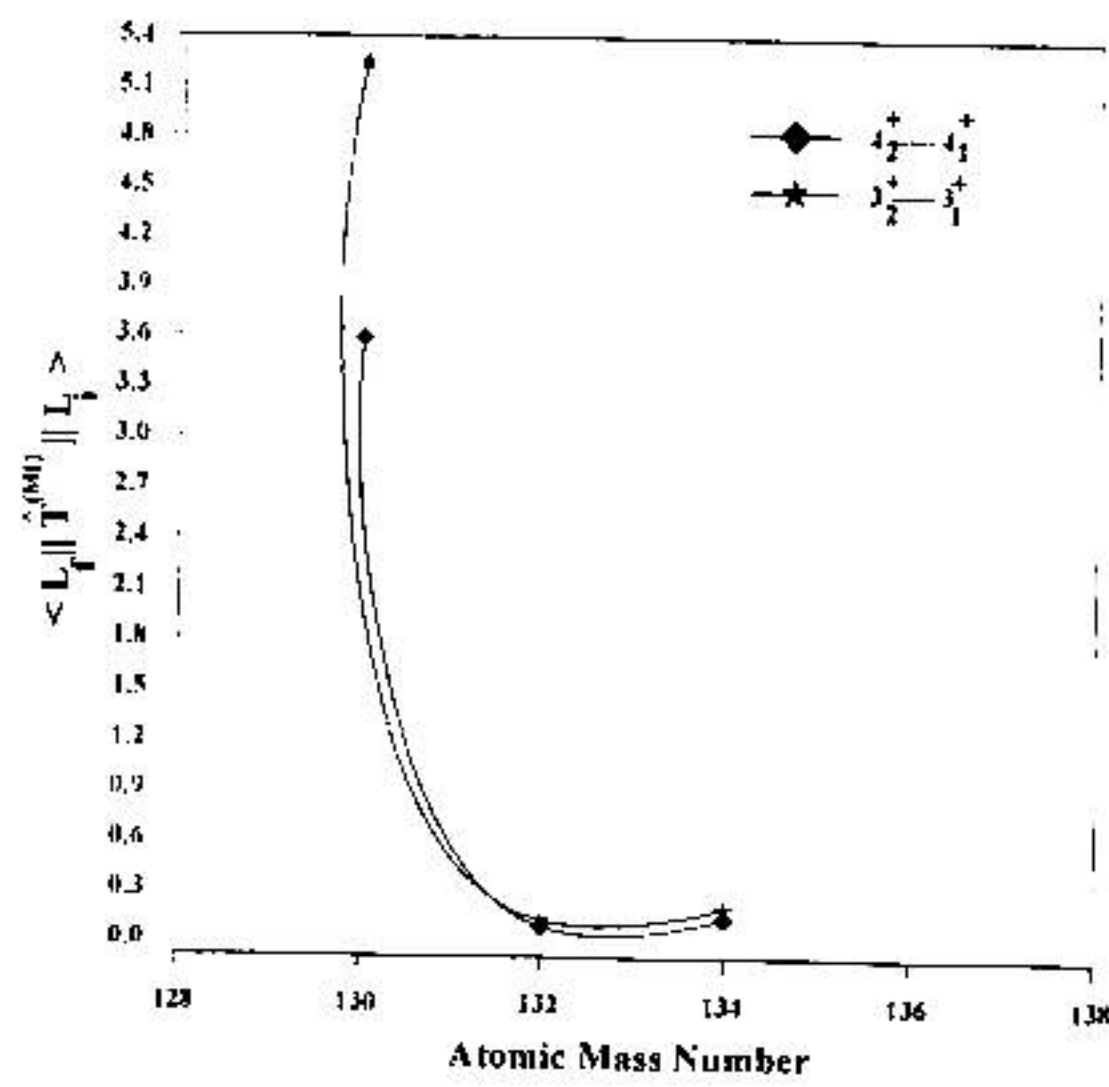
Parameters \square_n	Isotopes				1- Body
	$^{130}_{56}\text{Ba}_{74}$	$^{132}_{56}\text{Ba}_{76}$	$^{134}_{56}\text{Ba}_{78}$	$^{136}_{56}\text{Ba}_{80}$	
β'_{π}	1.4999	0.1348	0.0520	0.1384	
β'_{ν}	0.4378	0.1348	0.4485	0.9400	

جدول (2) احتمالية الانتقالات المغناطيسية ثنائية القطب وعناصر المصفوفة المختزلة لحد الجسيم الواحد بدلالة مركبة التطوير العددي والتطوير الاتجاهي.

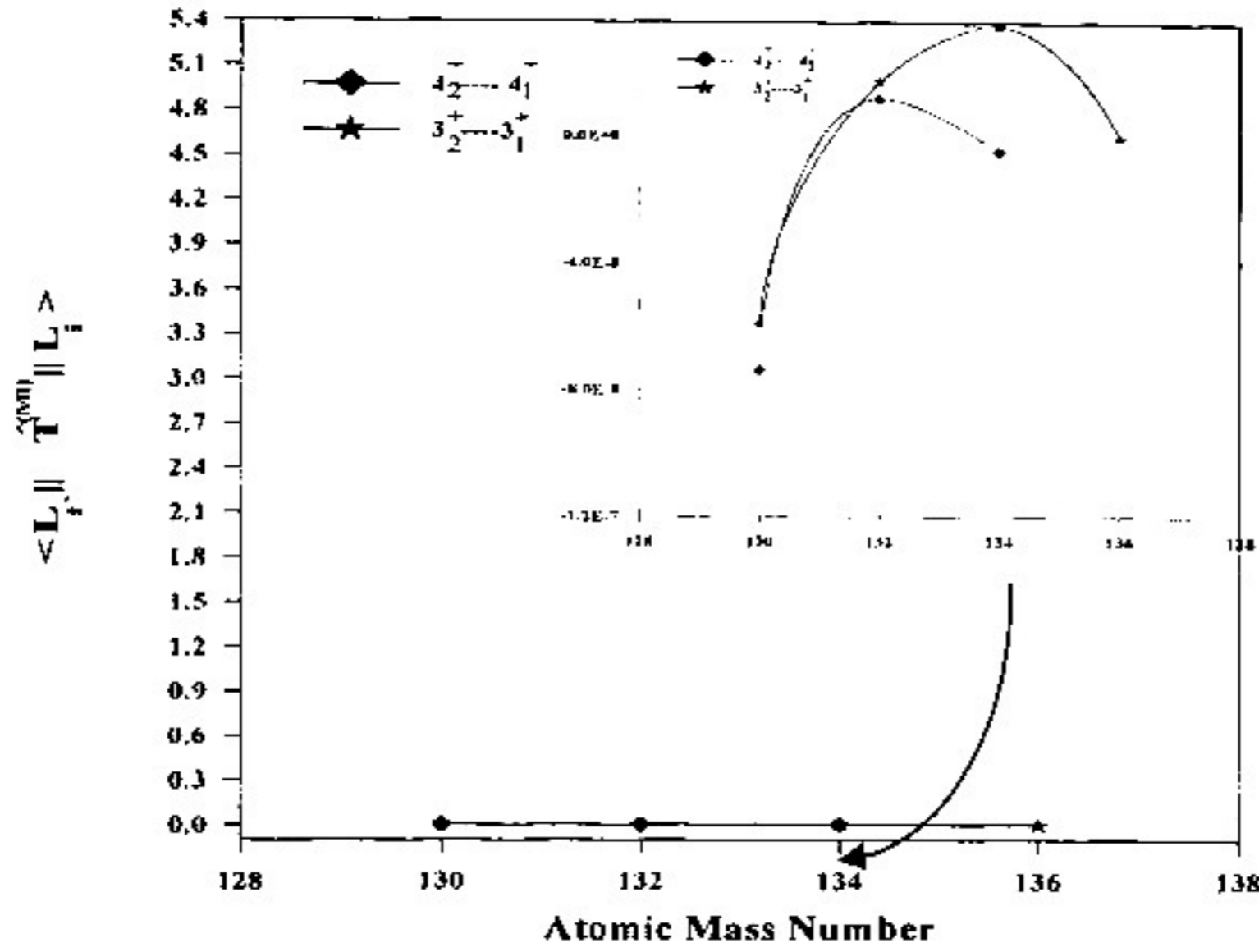
Isotopes	$I_i - I_f$	$(L_T \parallel \vec{T}^{(M)} \parallel L_i)$			$B(MI)$		
		Isoscalar	Isovector	Total	Isoscalar	Isovector	Total
$^{130}_{56}\text{Ba}_{74}$	$2^+_2 \rightarrow 2^+_1$	0.1971×10^1	0.1675	0.2139×10^{-1}	0.7775	0.5612×10^{-2}	0.9152
	$2^+_3 \rightarrow 2^+_2$	-0.1337	-0.1136×10^1	-0.1451	0.3577×10^{-2}	0.2582×10^{-1}	0.4211×10^{-2}
	$2^+_3 \rightarrow 2^+_1$	0.3130	0.2659×10^1	0.3396	0.1959×10^{-1}	0.1414×10^{-4}	0.2306×10^{-1}
	$3^+_2 \rightarrow 3^+_1$	0.3299×10^1	0.2803	0.3579×10^1	0.1555×10^1	0.1122×10^{-1}	0.183×10^{-1}
	$4^+_2 \rightarrow 4^+_1$	0.4829×10^1	0.4103	0.5240×10^1	0.2591×10^1	0.1870×10^{-1}	0.305×10^1
	$4^+_3 \rightarrow 4^+_2$	-0.3276	-0.2783×10^{-1}	-0.3554	0.1192×10^{-1}	0.8608×10^{-4}	0.1403×10^{-1}
$^{132}_{56}\text{Ba}_{76}$	$4^+_3 \rightarrow 4^+_1$	0.7667	0.6514×10^1	0.8318	0.6532×10^{-1}	0.4714×10^{-3}	0.7689×10^{-1}
	$2^+_2 \rightarrow 2^+_1$	0.4835×10^1	0.0000	0.4835×10^{-1}	0.4676×10^{-3}	0.0000	0.4676×10^{-1}
	$3^+_2 \rightarrow 3^+_1$	0.8091×10^1	0.0000	0.8091×10^{-1}	0.9353×10^{-3}	0.0000	0.9353×10^{-1}
	$4^+_2 \rightarrow 4^+_1$	0.1184	0.0000	0.1184	0.1558×10^{-2}	0.0000	0.1558×10^{-2}
$^{134}_{56}\text{Ba}_{78}$	$2^+_2 \rightarrow 2^+_1$	0.9736×10^{-1}	-0.1833×10^{-1}	0.7903×10^{-1}	0.1896×10^{-2}	0.6721×10^{-4}	0.1249×10^{-2}
	$3^+_2 \rightarrow 3^+_1$	0.1629	-0.3067×10^{-1}	0.1322	0.3792×10^{-2}	0.1344×10^{-3}	0.2498×10^{-2}
	$4^+_2 \rightarrow 4^+_1$	0.2385	-0.4490×10^{-1}	0.1936	0.6320×10^{-2}	0.2240×10^{-3}	0.4164×10^{-2}



شكل (1) الاعلومات الخاصة بمعادلة مؤثر الانتقالات المغناطيسية ثنائية القطب للجسيم الواحد بدلالة بوزونات البروتون وبوزونات النيوترون



شكل (2) عناصر المصفوفة المختزلة لمؤثر الانتقالات المغناطيسية للجسيم الواحد دالة لاعداد الكتلية بدلالة بوزونات البروتون وبوزونات النيوترون



شكل (3) عناصر المصفوفة المختزلة لمؤثر الانتقالات المغناطيسية للجسيم الواحد
دالة للاعداد الكتلية بدلالة العدد الكلي للبوزونات

Isoscalar and isovector for one body of magnetic dipole transitions of Ba(A=130-136) isotopes using IBM-1

Iman T. Al-Alawy , Khalid S. Ibraheim
Department of Physics, College of Science Al-
Mustansiriyah University

Abstract

Isoscalar and isovector for one body of magnetic dipole transitions of even-even Ba (A=130-136) isotopes have been calculated using IBM-1. The present calculations are predicted that the maximum values of magnetic dipole reduced matrix element $\langle I_f || \hat{T}^{(M1)} || I_i \rangle$ were found in Ba (A=130 and A=136) for the transitions $3_2^+ \rightarrow 3_1^+$ and $4_2^+ \rightarrow 4_1^+$, while the minimum values in the transitions $2_3^+ \rightarrow 2_2^+$ and $4_3^+ \rightarrow 4_2^+$ for Ba=130 and for Ba(A=132 and for Ba(A=132 and A=134) at the transitions of $2_2^+ \rightarrow 2_1^+$. The values of reduced matrix element $\langle I_f || \hat{T}^{(M1)} || I_i \rangle$ in Ba=136 were appeared after the separation of proton bosons and neutron bosons at $2_1^+, 3_1^+, 4_1^+$ and 5_1^+ states. These values were equal to (2.293→-1.356) μ_n for isovector operators. The values of B(M1) doesn't appears because there are no transitions between these energy states other energy states.